

**ОПТИМАЛЬНОЕ
УПРАВЛЕНИЕ**

УДК 519.642

**ВЫБОР ПАРАМЕТРА РЕГУЛЯРИЗАЦИИ НА ОСНОВЕ
РЕКОНСТРУКЦИИ РЕГУЛЯРИЗОВАННОГО РЕШЕНИЯ В ЗАДАЧЕ
АДАПТИВНОЙ КОРРЕКЦИИ СИГНАЛОВ**

© 2021 г. М. Л. Маслаков

199178 Санкт-Петербург, 11-я линия В.О., 66, АО “Российский институт мощного радиостроения”, Россия

e-mail: maslakovml@gmail.com

Поступила в редакцию 23.01.2020 г.
Переработанный вариант 10.07.2020 г.
Принята к публикации 18.09.2020 г.

Рассматривается адаптивная коррекция сигналов как решение обратной некорректной задачи. Данная задача сводится к интегральному уравнению типа свертки, а для его решения используется метод регуляризации. Для выбора параметра регуляризации предлагается осуществить реконструкцию регуляризованного решения. Представлены результаты численных экспериментов. Библ. 18. Фиг. 3.

Ключевые слова: некорректная задача, интегральное уравнение типа свертки, регуляризация, параметр регуляризации.

DOI: 10.31857/S0044466921010063

1. ВВЕДЕНИЕ

В статье рассматривается задача адаптивной коррекции частотно ограниченных информационных сигналов, передаваемых через нестационарные замирающие каналы связи (см. [1]). Данная задача сводится к решению интегрального уравнения типа свертки I рода (см. [2]), которое запишем в операторном виде

$$HS = U_{\delta}, \quad (1.1)$$

где $H \in R^{k \times m}$, $k \geq m$, – матрица коэффициентов импульсной характеристики канала, $S \in R^m$ – вектор отсчетов передаваемого сигнала, $U_{\delta} \in R^k$ – вектор отсчетов принятого сигнала.

Вектор U_{δ} представляет собой результат измерений на фоне белого гауссовского шума, т.е.

$$U_{\delta} = \bar{U} + \xi, \quad (1.2)$$

где \bar{U} – точные значения вектора отсчетов принятого сигнала, ξ – аддитивный белый гауссовский шум с нулевым средним и дисперсией σ_{ξ}^2 .

Матрица H состоит из коэффициентов импульсной характеристики канала $h(t)$ (см. [3]), причем

$$h(t) \equiv 0, \quad t \leq 0, \quad (1.3)$$

$$\int_{-\infty}^{\infty} |h(t)| dt < \infty. \quad (1.4)$$

Матрица H представляет собой циркулянтную матрицу $k \times m$ вида

$$H = \begin{bmatrix} h(t_1) & 0 & \dots & 0 \\ h(t_2) & h(t_1) & \dots & 0 \\ \vdots & \ddots & \ddots & \vdots \\ h(t_k) & & \ddots & h(t_1) \\ 0 & \ddots & & h(t_2) \\ \vdots & & \ddots & \vdots \\ 0 & \dots & \dots & h(t_k) \end{bmatrix}, \quad (1.5)$$

где $h(t_k)$ – отсчеты импульсной характеристики $h(t)$.

Отметим, что на практике коэффициенты матрицы H получают из решения уравнения (1.1) путем передачи тестового сигнала и получения отклика на него (см. [4], [5]). Таким образом, H в общем случае является регуляризованным решением, а значит, $H \equiv H_\alpha$. В рамках рассматриваемой задачи полагаем

$$\max |\bar{H} - H| \leq \delta_H, \quad (1.6)$$

где \bar{H} – точные значения коэффициентов импульсной характеристики канала.

Точные оценки σ_ξ^2 и δ_H отсутствуют.

Для выбора параметра регуляризации применяют различные эвристические методы, описание и сравнительный анализ некоторых из них приводится, например, в [6]–[13]. Применение конкретного метода определяется особенностью постановки решаемой задачи.

В данной работе автором предлагается метод выбора параметра регуляризации путем реконструкции получаемого решения. Для этого предполагается осуществить поэлементную оценку регуляризованного решения и формирование опорных функций.

Статья организована следующим образом. В разд. 2 даны определение реконструированного регуляризованного решения и его свойства. В разд. 3 приведен метод выбора параметра регуляризации на основе реконструированного регуляризованного решения. При этом рассмотрены случаи точно известной и приближенной матрицы H . Результаты численного эксперимента представлены в разд. 4. Выводы по работе сформулированы в разд. 5.

2. РЕКОНСТРУКЦИЯ РЕГУЛЯРИЗОВАННОГО РЕШЕНИЯ

2.1. Получение реконструированного регуляризованного решения

Вектор передаваемого информационного сигнала S представляет собой отсчеты фазоманипулированного одночастотного сигнала вида (см. [14], [15])

$$s(t) = A \sum_{n=1}^N \cos(\omega_0 t + \varphi(n)) p(t - (n-1)T_{\text{sym}}), \quad t \in [0; NT_{\text{sym}}], \quad (2.1)$$

где N – количество передаваемых символов, A – амплитуда передаваемого сигнала, $\omega_0 = 2\pi f_0$ – несущая частота, $\varphi(n)$, $n = 1, 2, \dots, N$ – фазы передаваемых символов, T_{sym} – длительность символа, $p(t)$ – импульсная функция вида

$$p(t) = \begin{cases} 1, & t \in [0; NT_{\text{sym}}], \\ 0, & t \notin [0; NT_{\text{sym}}]. \end{cases}$$

Введем оператор Y , осуществляющий операцию модуляции, т.е. формирующий сигнал (2.1) в соответствии с входным вектором $B = \{b(n)\}$, $n = 1, 2, \dots, N$, состоящим из последовательности передаваемых информационных бит, т.е.

$$S = YB. \quad (2.2)$$

Последовательность фаз $\varphi(n)$, $n = 1, 2, \dots, N$, однозначно соответствует вектору B . При этом для различной позиционности фазовой модуляции (ФМ) определенному набору бит соответствуют строго определенные значения фаз (см. [15]):

$$b = \{0; 1\} \Leftrightarrow \varphi = \{0; \pi\} \text{ — для двухпозиционной ФМ (BPSK);}$$

$$b = \{00; 01; 11; 10\} \Leftrightarrow \varphi = \left\{0; \frac{\pi}{2}; \pi; \frac{3\pi}{2} \equiv -\frac{\pi}{2}\right\} \text{ — для четырехпозиционной ФМ (QPSK);}$$

и т.д. с учетом кода Грея (см. [16]).

Также, для удобства, будем полагать, что

$$T_{\text{sym}} F_s \in \mathbb{N}, \tag{2.3}$$

где F_s — частота дискретизации.

Решение уравнения (1.1) осуществляется методом регуляризации (в работе использован метод регуляризации Тихонова из [12]). Соответствующее численное решение этого уравнения обозначим вектором $S(\alpha)$, зависящим от параметра регуляризации α .

Далее введем оператор Y^- , осуществляющий оптимальный когерентный прием, т.е. демодуляцию (см. [15], [16]). Данный оператор введен лишь для удобства последующей записи математических выражений. Описание (реализация) Y^- приведено в [5]. Тогда, осуществив демодуляцию регуляризованного решения уравнения (1.1), определяемого вектором $S(\alpha)$, получим последовательность бит $B(\alpha) = \{b(n, \alpha)\}$, $n = 1, 2, \dots, N$, которая также будет зависеть от параметра α , т.е.

$$B(\alpha) = Y^- S(\alpha). \tag{2.4}$$

Тогда решение

$$S_Y(\alpha) = Y(Y^- S(\alpha)) \tag{2.5}$$

будем называть *реконструированным регуляризованным решением* уравнения (1.1).

2.2. Свойства реконструированного регуляризованного решения

Рассмотрим квадратичные нормы исходного вектора S , а также регуляризованных решений уравнения (1.1) — $S(\alpha)$ и $S_Y(\alpha)$:

$$E = \|S\|^2, \tag{2.6}$$

$$E(\alpha) = \|S(\alpha)\|^2, \tag{2.7}$$

$$E_Y(\alpha) = \|S_Y(\alpha)\|^2. \tag{2.8}$$

При этом для (2.7) и (2.8) имеют место следующие предельные соотношения:

$$\lim_{\alpha \rightarrow +\infty} E(\alpha) = 0 \quad (\text{см., например, [11], [12]}), \tag{2.9}$$

$$\lim_{\alpha \rightarrow +\infty} E_Y(\alpha) = E. \tag{2.10}$$

Последнее следует из выражения (2.1) с учетом допущения (2.3). Вообще говоря, для любого вектора B имеем

$$\|YB\|^2 = E. \tag{2.11}$$

Иными словами

$$E_Y(\alpha) \equiv \text{const} = E. \tag{2.12}$$

Отметим, что в случае сигналов BPSK соотношение (2.11) справедливо и без допущения (2.3).

Оптимальное значение параметра регуляризации, согласно [5], соответствует минимуму функционала, представляющего собой количество битовых (символьных) ошибок

$$q(\alpha) = \sum_{n=1}^N (b(n) \oplus b(n, \alpha)), \quad (2.13)$$

где \oplus – знак сложения по модулю два.

При этом отметим, что информационная последовательность бит $b(n)$, $n = 1, 2, \dots, N$, на практике неизвестна.

Очевидно, что в случае, когда существует такое $\alpha^* > 0$, при котором достигается минимум функционала (2.13)

$$q(\alpha^*) = 0, \quad (2.14)$$

имеет место

$$S_Y(\alpha^*) \equiv S. \quad (2.15)$$

Однако из [5] следует, что (2.14) не всегда выполняется, т.е. для $\forall \alpha > 0$ может быть, что

$$\min_{\alpha} q(\alpha) > 0. \quad (2.16)$$

В этом случае (2.15) выполняется только лишь на некоторых отрезках (интервалах) из $[0; NT_{\text{sym}}]$, т.е.

$$s_Y(t, \alpha) \equiv s(t), \quad [t_1; t_2] \cup [t_3; t_4] \cup [t_5; t_6] \dots \in [0; NT_{\text{sym}}]. \quad (2.17)$$

Здесь $s_Y(t, \alpha)$ – фазоманипулированный сигнал, аналогичный (2.1), значения фаз которого соответствуют вектору $B(\alpha)$. Вектор $S_Y(\alpha)$ определяется отсчетами сигнала $s_Y(t, \alpha)$. Отметим, что интервалы $[t_k; t_{k+1}]$ кратны длительности символа T_{sym} .

3. ВЫБОР ПАРАМЕТРА РЕГУЛЯРИЗАЦИИ

3.1. Случай точно известных коэффициентов матрицы H

Пусть матрица коэффициентов импульсной характеристики канала известна точно, т.е. $\delta_H = 0$.

Обозначим приближенное представление реконструированного решения в форме

$$U_Y(\alpha) = HS_Y(\alpha), \quad (3.1)$$

при этом

$$\|U_Y(\alpha)\|^2 = E_{U_Y}(\alpha) > 0 \quad (\forall \alpha > 0). \quad (3.2)$$

Отметим, что в общем случае $E_{U_Y}(\alpha) \neq \text{const}$, в отличие от (2.12).

Рассмотрим соотношение

$$\begin{aligned} r(\alpha) &= \|U_Y(\alpha) - U_{\delta}\|^2 = \|U_Y(\alpha) - \bar{U} + \bar{U} - U_{\delta}\|^2 = \\ &= \|U_Y(\alpha) - \bar{U}\|^2 + \|\bar{U} - U_{\delta}\|^2 + 2\|U_Y(\alpha) - \bar{U}\| \|\bar{U} - U_{\delta}\|. \end{aligned} \quad (3.3)$$

С учетом (1.2) данное выражение примет вид

$$r(\alpha) = \|U_Y(\alpha) - \bar{U}\|^2 + \|\xi\|^2 + 2\|U_Y(\alpha) - \bar{U}\| \|\xi\|. \quad (3.4)$$

Допустим, что (2.14) и, следовательно, (2.15) выполняется. В этом случае $U_Y(\alpha^*) \equiv \bar{U}$ и тогда выражение (3.5) преобразуется к виду

$$r(\alpha^*) = \|\xi\|^2 = \sigma_{\xi}^2. \quad (3.5)$$

Допустим, что выполняется условие (2.16) и, следовательно, имеет место (2.17). Значит, существуют такие интервалы $[t'_1; t'_2] \cup [t'_3; t'_4] \cup [t'_5; t'_6]$, на которых выполняется

$$U_Y(\alpha) \equiv \bar{U}. \quad (3.6)$$

Отметим, что данные интервалы, вообще говоря, не равны интервалам из (2.17).

Обозначим объединение всех интервалов, на которых выполняется (3.6), как T_0 , а где не выполняется – T_e . При этом

$$T_0 \cup T_e \equiv [0; k]. \tag{3.7}$$

Тогда $\forall \alpha > 0$ имеют место следующие утверждения:

$$\|U_Y(\alpha) - \bar{U}\|_{T_0}^2 = 0, \tag{3.8}$$

$$0 < \|U_Y(\alpha) - \bar{U}\|_{T_e}^2 \leq \|2\bar{U}\|_{T_e}^2. \tag{3.9}$$

Утверждение (3.8) очевидно и следует из (3.6). Утверждение (3.9) следует из того, что в худшем случае

$$U_Y(\alpha) = -\bar{U}. \tag{3.10}$$

В результате выражение (3.4) преобразуется к виду

$$\begin{aligned} r(\alpha) &= \|U_Y(\alpha) - \bar{U}\|_{T_0 \cup T_e}^2 + \|\xi\|_{T_0 \cup T_e}^2 + 2\|U_Y(\alpha) - \bar{U}\|_{T_0 \cup T_e} \|\xi\|_{T_0 \cup T_e} = \\ &= \|U_Y(\alpha) - \bar{U}\|_{T_e}^2 + \|\xi\|^2 + 2\|U_Y(\alpha) - \bar{U}\|_{T_e} \|\xi\| = \|U_Y(\alpha) - \bar{U}\|_{T_e}^2 + \sigma_\xi^2 + 2\|U_Y(\alpha) - \bar{U}\|_{T_e} \sigma_\xi. \end{aligned} \tag{3.11}$$

Пусть для некоторого $\alpha_1 > 0$ $T_e^1 = [t'_1; t'_2]$, а для $\alpha_2 > 0$ $T_e^2 = [t'_1; t'_3]$. При этом $t'_2 < t'_3$. Очевидно, что в этом случае

$$\|U_Y(\alpha_1) - \bar{U}\|_{T_e^1}^2 < \|U_Y(\alpha_2) - \bar{U}\|_{T_e^2}^2 \tag{3.12}$$

и, следовательно,

$$r(\alpha_1) < r(\alpha_2), \tag{3.13}$$

а значит, $\min r(\alpha)$ соответствует лучшему приближению $U_Y(\alpha)$ к \bar{U} и в качестве оптимального значения параметра регуляризации можно взять

$$\alpha_{\text{opt}} = \arg(\min_{\alpha} r(\alpha)), \tag{3.14}$$

что также обеспечивает минимум функционала (2.13).

3.2. Случай приближенной матрицы H

Пусть матрица коэффициентов импульсной характеристики канала является регуляризованным приближенным решением H_α таким, что (1.6), $\delta_H > 0$ (δ_H – неизвестно). Как показано в [4], оптимальное значение параметра регуляризации для матрицы H_α (т.е. обеспечивающее лучшее приближение H_α к \bar{H}) равно оптимальному значению параметра регуляризации для решения исходного уравнения (1.1). При этом

$$\lim_{\alpha \rightarrow +\infty} \|H_\alpha\| = 0, \tag{3.15}$$

а значит,

$$\lim_{\alpha \rightarrow +\infty} \|U_Y(\alpha)\| = 0. \tag{3.16}$$

Допустим выполнение (2.14) и (2.15). Тогда

$$r(\alpha^*) = \|U_Y(\alpha^*) - U_\delta\|^2 = \|H_{\alpha^*} S_Y(\alpha^*) - U_\delta\|^2 = \|H_{\alpha^*} \bar{S} - U_\delta\|^2. \tag{3.17}$$

В этом случае (3.17) представляет собой невязку для регуляризованных коэффициентов матрицы H_α , свойства которой приведены в [11], [12]. Отличительной особенностью выражения (3.17) является то, что коэффициенты матрицы H_α получены при решении уравнения (1.1) в условиях другой реализации шумовой составляющей в U_δ .

Выражение (3.17) можно также представить в виде

$$\begin{aligned} r(\alpha^*) &= \|H_{\alpha^*}\bar{S} - \bar{U} + \bar{U} - U_\delta\|^2 = \|H_{\alpha^*}\bar{S} - \bar{U}\|^2 + \|\bar{U} - U_\delta\|^2 - 2\|H_{\alpha^*}\bar{S} - \bar{U}\|\|\bar{U} - U_\delta\| = \\ &= \|\vartheta(\alpha^*)\|^2 + \|\xi\|^2 - 2\|\vartheta(\alpha^*)\|\|\xi\|, \end{aligned} \quad (3.18)$$

где $\vartheta(\alpha^*)$ – представляет собой “отбеленный” шум.

Причем $\vartheta(\alpha)$ и ξ – независимы. Рассмотрим подробнее $\|\vartheta(\alpha^*)\|^2$:

$$\|\vartheta(\alpha^*)\|^2 = \|H_{\alpha^*}\bar{S} - \bar{U}\|^2 = \|H_{\alpha^*}\bar{S} - \bar{H}\bar{S}\|^2 \leq E \|H_{\alpha^*} - \bar{H}\|^2. \quad (3.19)$$

Лучшее приближение H_{α^*} обеспечит минимум $\|\vartheta(\alpha^*)\|$. При этом в [5] доказано, что условие (2.14) выполняется лишь в ограниченной области возможных значений $\{\alpha^*\}$, любое из которых будет являться оптимальным с точки зрения минимума функционала (2.13).

Пусть выполняется условие (2.16) и, следовательно, имеет место (2.17). При этом существуют интервалы T_0 , на которых имеет место (3.19), т.е.

$$\|\vartheta(\alpha)\|_{T_0}^2 = \|H_\alpha S_Y(\alpha) - \bar{U}\|_{T_0}^2 = \|H_\alpha \bar{S} - \bar{U}\|_{T_0}^2, \quad (3.20)$$

а также интервалы T_e , на которых

$$\|\vartheta(\alpha)\|_{T_e}^2 = \|H_\alpha S_Y(\alpha) - \bar{U}\|_{T_e}^2. \quad (3.21)$$

С учетом (3.16) имеют место следующие предельные соотношения:

$$\lim_{\alpha \rightarrow +\infty} \|\vartheta(\alpha)\|_{T_0}^2 = \|\bar{U}\|_{T_0}^2, \quad (3.22)$$

$$\lim_{\alpha \rightarrow +\infty} \|\vartheta(\alpha)\|_{T_e}^2 = \|\bar{U}\|_{T_e}^2, \quad (3.23)$$

$$\lim_{\alpha \rightarrow +\infty} \|\vartheta(\alpha)\|^2 = \|\bar{U}\|^2 = E_U. \quad (3.24)$$

Свойства невязки $r(\alpha)$ приведены в [12], в частности,

$$\lim_{\alpha \rightarrow +\infty} r(\alpha) = \|U_\delta\|^2 = E_{U_\delta}, \quad (3.25)$$

$$\lim_{\alpha \rightarrow 0^+} r(\alpha) = \mu^2, \quad (3.26)$$

где μ^2 – мера несовместности.

Кроме того, в рамках рассматриваемой задачи имеет место очевидное неравенство

$$\lim_{\alpha \rightarrow 0^+} \|r(\alpha)\|_{T_0}^2 < \lim_{\alpha \rightarrow 0^+} \|r(\alpha)\|_{T_e}^2. \quad (3.27)$$

Таким образом, с учетом неравенства (3.12), из выражения $\|\bar{U} - U_\delta\|^2 = \|\xi\|^2 = \text{const}$ следует, что минимуму $\|\vartheta(\alpha)\|^2 = \|H_\alpha S_Y(\alpha) - \bar{U}\|^2$ соответствует минимум невязки $r(\alpha)$. А выбор α_{opt} из (3.14) обеспечивает минимум функционала (2.13).

3.3. Некоторые дополнительные замечания

Рассмотрим выбор параметра регуляризации по невязке для решения уравнения (1.1) в форме $S(\alpha)$ (см. [17]). С учетом принятых обозначений невязка есть

$$\hat{r}(\alpha) = \|HS(\alpha) - U_\delta\|^2. \quad (3.28)$$

Различные модификации данного подхода рассмотрены, например, в [13], как для случая $\delta_H = 0$, так и для случая $\delta_H \neq 0$ (но не в случае $H \equiv H_\alpha$).

Рассмотрим подробнее этот случай ($H \equiv H_\alpha$), имеющий место в рассматриваемой задаче коррекции сигналов. Тогда вместо (3.26) выражение для невязки примет вид

$$\tilde{r}(\alpha) = \|H_\alpha S(\alpha) - U_\delta\|^2. \quad (3.29)$$

В основном свойства невязки $\tilde{r}(\alpha)$ и ее предельные значения не отличаются от случаев $r(\alpha)$ и $\hat{r}(\alpha)$. Тем не менее имеются определенные различия.

1. $\exists \alpha_0 : \forall \alpha > \alpha_0$ выполняется неравенство

$$\|H_\alpha S(\alpha)\|^2 < \|H_\alpha S_Y(\alpha)\|^2. \quad (3.30)$$

Доказательство следует из того, что $\|H_\alpha\|^2$ и $\|S(\alpha)\|^2$ – монотонно не возрастающие функции (см. [12]). Однако для $\|S_Y(\alpha)\|^2$ при $\forall \alpha$ выполняется (2.12).

Тогда имеем

$$\|H_\alpha S(\alpha)\|^2 \leq \|H_\alpha\|^2 \|S(\alpha)\|^2, \quad (3.31)$$

$$\|H_\alpha S_Y(\alpha)\|^2 \leq \|H_\alpha\|^2 E. \quad (3.32)$$

С учетом (2.9) приходим к выводу, что найдется такое $\alpha_0 : \forall \alpha > \alpha_0$ имеет место неравенство

$$\|S(\alpha)\|^2 < E, \quad (3.33)$$

а значит, неравенство (3.30) также выполняется.

Аналогично можно доказать выполнение неравенства

$$\|\bar{H}S(\alpha)\|^2 < \|\bar{H}S_Y(\alpha)\|^2. \quad (3.34)$$

При этом отметим, что α_0 может быть ≥ 0 .

2. Функция $\|H_\alpha S(\alpha)\|^2$ монотонно не возрастающая $\forall \alpha > 0$, однако функция $\|H_\alpha S_Y(\alpha)\|^2$ не является монотонной на интервале $[0; \alpha']$. Данное свойство менее очевидно и следует из того, что в общем случае для различных векторов B_1 и $B_2 : B_1 \neq B_2$ имеет место

$$\|\bar{H}YB_1\|^2 \neq \|\bar{H}YB_2\|^2. \quad (3.35)$$

Следовательно, $\exists \alpha_1, \alpha_2 \in [0; \alpha'] : \alpha_1 < \alpha_2$, при которых

$$\|\bar{H}S_Y(\alpha_1)\|^2 < \|\bar{H}S_Y(\alpha_2)\|^2, \quad (3.36)$$

и, как следствие, имеем

$$\|H_{\alpha_1} S_Y(\alpha_1)\|^2 < \|H_{\alpha_2} S_Y(\alpha_2)\|^2. \quad (3.37)$$

Это приводит к тому, что зависимость невязки от параметра регуляризации может иметь несколько локальных минимумов.

4. ЧИСЛЕННЫЙ ЭКСПЕРИМЕНТ

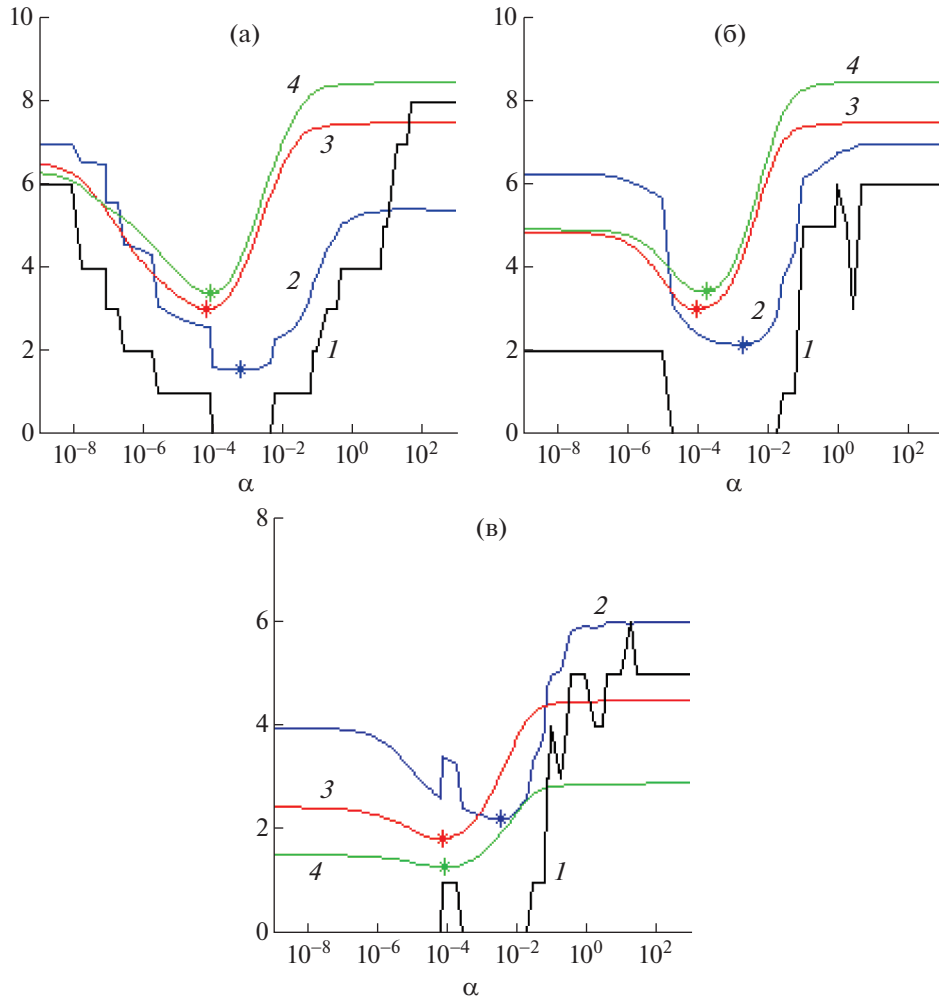
В данном разделе представлены результаты численного моделирования, демонстрирующие характерные свойства невязки при использовании реконструированного регуляризованного решения, а также эффективность предложенного метода выбора параметра регуляризации применительно к задаче адаптивной коррекции сигналов.

В качестве модели канала (функции $h(t)$) использована модель Ваттерсона (см. [18]), применяемая при моделировании коротковолновых каналов связи. При моделировании выбраны следующие параметры модели канала: 2 луча, интервал между лучами 2 мс, замирания каждого луча по закону Рэлея, используемая полоса частот $0/3-3/4$ кГц. Параметры передаваемого сигнала: несущая частота сигнала $\omega_0 = 2\pi f_0$ при $f_0 = 1.8$ Гц; длительность символа $T_{\text{sym}} = 0.625$ мс. Частота дискретизации 16 кГц.

На фиг. 1 представлены характерные зависимости функционала $q(\alpha)$, невязок $r(\alpha)$, $\tilde{r}(\alpha)$, а также $\bar{r}(\alpha)$, определяемой из выражения

$$\bar{r}(\alpha) = \|\bar{H}S(\alpha) - U_\delta\|^2. \quad (4.1)$$

Отметим, что представленные на фиг. 1 зависимости $r(\alpha)$, $\tilde{r}(\alpha)$ и $\bar{r}(\alpha)$ для наглядности были нормированы.



Фиг. 1. Характерный вид зависимостей, полученных при ОСШ 5 дБ: $q(\alpha)$ (черная 1); $r(\alpha)$ (синяя 2); $\tilde{r}(\alpha)$ (красная 3); $\bar{r}(\alpha)$ (зеленая 4).

Значения минимумов для зависимостей на фиг. 1а, б отмечены знаком *.

Дополнительно для демонстрации свойств 1, 2 на фиг. 2 приведены соответствующие зависимости $\|H_\alpha S_Y(\alpha)\|^2$, $\|H_\alpha S(\alpha)\|^2$ и $\|\bar{H}S(\alpha)\|^2$.

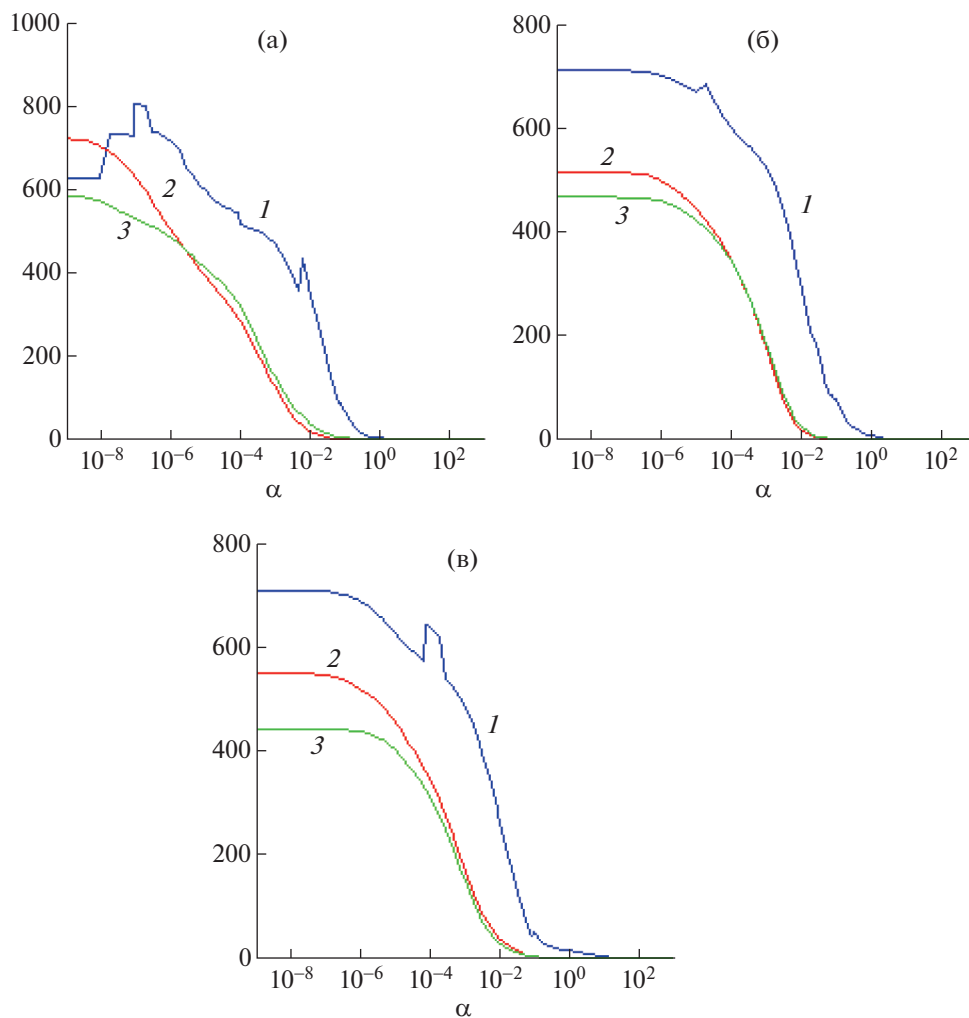
Для демонстрации эффективности применения предложенного метода выбора параметра регуляризации проведен эксперимент и получены зависимости вероятности ошибки на бит от ОСШ. Вероятность ошибки на бит определяется из выражения

$$P = \frac{1}{LN} \sum_{l=1}^L q(l, \hat{\alpha}_l), \quad (4.2)$$

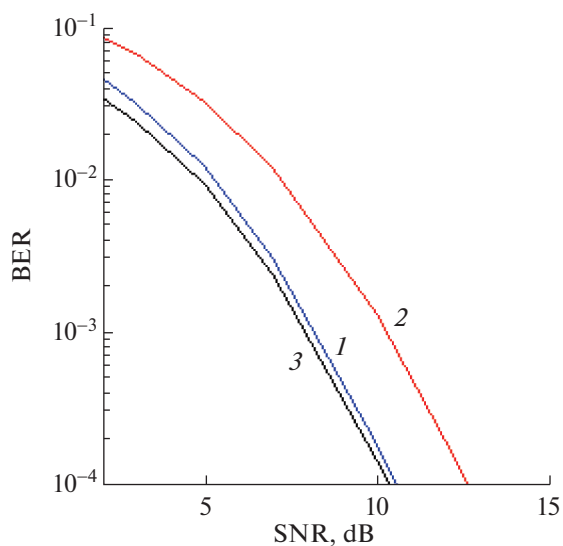
где L – объем выборки, $q(l, \hat{\alpha}_l)$ – число ошибок в l -м эксперименте, $\hat{\alpha}_l$ – выбранное значение параметра регуляризации.

При моделировании были заданы параметры $L = 20\,000$, $N = 15$. Обозначим вероятности ошибки на бит следующим образом: P – при выборе параметра регуляризации предлагаемым методом; \tilde{P} – при выборе параметра регуляризации по невязке, определяемой из выражения (3.29).

Нижняя граница на фиг. 3 получена экспериментально при условии, что последовательность $b_m(n)$, $n = 1, 2, \dots, N$, известна точно в каждом из M опытов.



Фиг. 2. Зависимости $\|H_{\alpha}S_Y(\alpha)\|^2$ (синяя 1), $\|H_{\alpha}S(\alpha)\|^2$ (красная 2), $\|\bar{H}S(\alpha)\|^2$ (зеленая 3).



Фиг. 3. Зависимости вероятности ошибки на бит от ОСШ (SNR): P (синяя 1), \bar{P} (красная 2), нижняя граница (черная 3).

Эффективность предложенного метода обусловлена следующим. Представим регуляризованное решение уравнения (1.1) в форме

$$S(\alpha) = \bar{S} + \eta(\alpha), \quad (4.3)$$

где $\eta(\alpha)$ назовем погрешностью (или ошибкой) вычисления, при этом

$$\|\eta(\alpha)\|^2 > 0. \quad (4.4)$$

Аналогично, для реконструированного регуляризованного решения

$$S_Y(\alpha) = \bar{S} + \eta_Y(\alpha). \quad (4.5)$$

При этом из свойства (2.17) следует, что существуют такие интервалы \hat{T}_0 , на которых

$$\|\eta_Y(\alpha)\|_{\hat{T}_0}^2 \equiv 0, \quad (4.6)$$

а значение нормы ошибки вычисления $\|\eta_Y(\alpha)\|_{\hat{T}_e}^2$ тем меньше, чем меньше суммарная длительность интервала $|\hat{T}_e|$, что и соответствует минимуму функционала (2.13). При этом в ряде случаев может быть, что $|\hat{T}_e| = 0$, и соответственно $\|\eta_Y(\alpha)\|^2 \equiv 0$ на всей длительности сигнала, т.е. $\hat{T}_0 = [0; NT_{\text{sym}}]$.

5. ЗАКЛЮЧЕНИЕ

Вычислительные эксперименты подтвердили применимость и эффективность предложенного метода выбора параметра регуляризации на основе реконструкции регуляризованного решения в задаче адаптивной коррекции сигналов. Данный метод не требует знания или получения оценок о погрешности правой части уравнения (1.1) и оценки ошибки вычисления матрицы H_α . Однако требуется априорное знание определенных характеристик искомого решения S для получения оценок элементов функции $s(t)$, необходимых для формирования опорных функций.

СПИСОК ЛИТЕРАТУРЫ

1. *Eleftheriou E., Falconer D.* Adaptive equalization techniques for HF channels // IEEE J.1 on Selected Areas in Communicat. 1987. V. 5. I. 2. P. 238–247.
2. *Santamarina J.C., Fratta D.* Discrete Signals and Inverse Problems. John Wiley & Sons, Ltd, 2005.
3. *Haykin S.* Adaptive Filter Theory. 5-th ed. Boston: Pearson, 2014.
4. *Маслаков М.Л.* Применение двухпараметрических стабилизирующих функций при решении интегрального уравнения типа свертки методом регуляризации // Ж. вычисл. матем. и матем. физ. 2018. Т. 58. № 4. С. 541–549.
5. *Маслаков М.Л.* Выбор параметра регуляризации в задачах адаптивной фильтрации // Ж. вычисл. матем. и матем. физ. 2019. Т. 59. № 6. С. 951–960.
6. *Bauer F., Lukas M.A.* Comparing parameter choice methods for regularization of ill-posed problem // Math. Comput. Simul. 2011. V. 81. I. 9. P. 1795–1841.
7. *Hansen P.C.* Rank-Deficient and Discrete Ill-Posed Problems, SIAM, Philadelphia, 1998.
8. *Lu S., Pereverzev S.V.* Regularization Theory for Ill-posed Problems. De Gruyter, Berlin, 2013.
9. *Hochstenbach M.E., Reichel L., Rodriguez G.* Regularization parameter determination for discrete ill-posed problems // J. Comput. Appl. Math. 2015. V. 273. P. 132–149.
10. *Hamarik U., Palm R., Raus T.* A family of rules for parameter choice in Tikhonov regularization of ill-posed problems with inexact noise level // J. Comput. Appl. Math. 2012. V. 236. P. 2146–2157.
11. *Гончарский А.В., Леонов А.С., Ягола А.Г.* Обобщенный принцип невязки // Ж. вычисл. матем. и матем. физ. 1973. Т. 13. № 2. С. 294–302.
12. *Тихонов А.Н., Гончарский А.В., Степанов В.В., Ягола А.Г.* Численные методы решения некорректных задач. М.: Наука, 1990.
13. *Сизиков В.С.* О способах невязки при решении некорректных задач // Ж. вычисл. матем. и матем. физ. 2003. Т. 43. № 9. С. 1294–1312.
14. *Johnson E.E., Koski E., Furman W.N., Jorgenson M., Nieto J.* Third-Generation and Wideband HF Radio Communications. Artech House, Inc, Boston, 2013.
15. *Xiong F.* Digital Modulation Techniques, Second Edition. Artech House, Inc, Boston, 2006.
16. *Proakis J.G., Salehi M.* Digital Communications, Fifth Edition. New York: McGraw-Hill, 2008.
17. *Морозов В.А.* О принципе невязки при решении операторных уравнений методом регуляризации // Ж. вычисл. матем. и матем. физ. 1968. Т. 8. № 2. С. 295–309.
18. *Wattson C.C., Juroshek J.R., Bensema W.D.* Experimental Confirmation of an HF Channel Model // IEEE Transact. Communicat. Technology. 1970. V. COM-18. № 6. P. 792–803.